

ОСОБЕННОСТИ СВОЙСТВ  $\text{UBe}_{13}$ 

*Н.Е.Алексеевский, А.В.Митин, В.И.Нижанковский,  
В.И.Фирсов, Е.П.Хлыбов*

Исследована зависимость сопротивления от температуры для образцов  $\text{UBe}_{13}$ . Показано, что облучение образцов потоком нейтронов и легирование железом подавляет сверхпроводимость и при этом слабо влияет на  $\rho(T)$  при  $T > 30 \text{ К}$ . Исследование  $H_{c_2}$  на монокристаллах  $\text{UBe}_{13}$  показало, что вблизи  $T_c$  анизотропия  $H_{c_2}$  отсутствует и появляется лишь при понижении температуры. Отмечается, что отсутствие анизотропии  $H_{c_2}$  вблизи  $T_c$  может быть связано с анизотропным распределением примесей и дефектов.

Ранее уже сообщалось о необычных свойствах соединения  $\text{UBe}_{13}$ , характеризующегося чрезвычайно высокими значениями коэффициента электронной теплоемкости  $\gamma \approx 1 \frac{\text{Дж}}{\text{моль}\cdot\text{К}^2}$ , производной второго критического поля по температуре  $dH_{c2}/dT \approx 250 \text{ кЭ/К}$ , аномальным поведением ЭДС Холла в больших магнитных полях и рядом других особенностей<sup>1, 2</sup>. Все эти данные позволили сделать вывод о нетривиальной природе сверхпроводимости в соединении  $\text{UBe}_{13}$ , связанной, например, со спариванием электронов в  $p$ -состоянии<sup>1</sup>. Вполне возможно, однако, что для объяснения перечисленных выше особенностей могут быть выдвинуты и другие гипотезы<sup>2</sup>.

В настоящем сообщении приводятся результаты исследований анизотропии  $H_{c2}(T)$  и магнитосопротивления  $\rho(H)$  монокристаллов  $\text{UBe}_{13}$ , а также данные о характере изменения температурных зависимостей электросопротивления  $\rho(T)$  у поликристаллических образцов  $\text{UBe}_{13}$  после их облучения потоком тепловых нейтронов, наводораживания (отжига в водороде) и легирования небольшими добавками железа.

На рис. 1, *a* приведены зависимости  $H_{c2}(T)$  для двух ориентаций вектора магнитного поля по отношению к осям монокристалла:  $H \parallel C_2$  (кривая 1) и  $H \parallel C_4$  (кривая 2). В обоих случаях ток был направлен перпендикулярно вектору магнитного поля вдоль оси  $C_2$  образца, имевшего размеры  $1 \times 1 \times 5 \text{ мм}^3$ . Значения  $H_{c2}(T)$  определялись по серединам кривых сверхпроводящего перехода  $\rho(T)$ . Из рис. 1, *a* видно, что вблизи  $T_c$  анизотропия  $H_{c2}$  для одного и того же образца отсутствует и становится заметной лишь при  $T < 0,9 T_c$ , достигая  $\sim 7\%$  при  $T = 0,75 T_c$ . Подобное поведение анизотропии  $H_{c2}(T)$  характерно и для исследованного ранее "тяжелофермионного" сверхпроводника  $\text{CeCu}_2\text{Si}_2$ <sup>1</sup>. Исследования зависимостей  $H_{c2}(T)$  проводились нами на 6 образцах, вырезанных как вдоль оси  $C_2$ , так и вдоль оси  $C_4$ . Оказалось, что у всех образцов, вырезанных вдоль оси  $C_4$ , критическая температура (при  $H = 0$ ) в среднем на  $0,05 \text{ К}$  ниже, а производная  $dH_{c2}/dT$  в 1,4 раза больше. Такое различие в величинах  $T_c$  и  $dH_{c2}/dT$  может быть связано с анизотропным распределением примесей и дефектов, которые с большей вероятностью локализуются по плоскостям, перпендикулярным  $C_2$ , о чем свидетельствуют фотографии шлифов исследованных монокристаллов.

Не исключено, что анизотропное распределение примесей может быть также причиной<sup>3</sup> отсутствия заметной анизотропии  $H_{c2}$  вблизи  $T_c$ , которая, как это следует из выводов работы<sup>4</sup>, должна иметь место для систем с нетривиальным спариванием.

Исследование монокристаллов выше  $T_c$  в сильных магнитных полях показало, что анизотропия магнитосопротивления  $\rho(H)$  у них относительно мала. На рис. 1, *b* приведены зависимости  $\rho(H)/\rho_0$  для ориентаций  $H \parallel C_2$  и  $H \parallel C_4$  при двух значениях температур:  $1,9 \text{ K}$  (кривые 1 и 2) и  $4,2 \text{ K}$  (кривые 3 и 4). Четные номера кривых соответствуют ориентации  $H \parallel C_4$ , нечетные –  $H \parallel C_2$ . Как видно из рис. 1, в поле  $75 \text{ кЭ}$  анизотропия  $\rho(H)$  не превышает 2%, что на порядок меньше, чем в случае такой "тяжелофермионной" системы, как  $\text{GeCu}_6$ <sup>5</sup>.

Сильное уменьшение сопротивления монокристаллов  $\text{UBe}_{13}$  с ростом поля количественно согласуется с полученными ранее значениями  $\rho(H)$  для поликристаллических образцов  $^2$ . Предварительные измерения показали, что производная  $d\rho/dH$  остается отрицательной вплоть до полей 210 кЭ, где при  $T = 1,7 \text{ К}$  отношение  $\rho(H)/\rho_0$  становится равным 0,17.

Более подробные исследования влияния дефектов и примесей на свойства  $\text{UBe}_{13}$  были проведены на поликристаллических образцах.

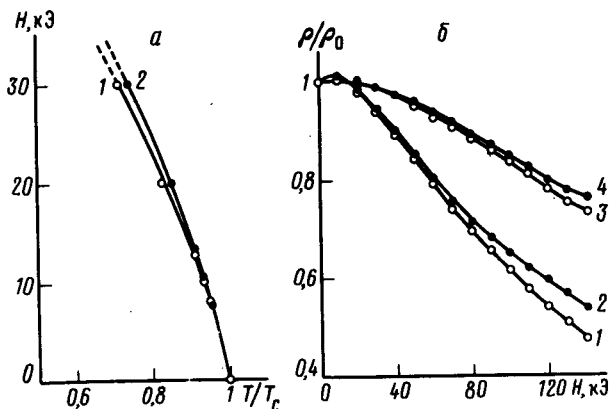


Рис. 1. а – Зависимости второго критического поля от температуры для монокристалла  $\text{UBe}_{13}$  при двух ориентациях вектора магнитного поля по отношению к его осям:  $H \parallel C_2$  (кривая 1) и  $H \parallel C_4$  (кривая 2); б – анизотропия магнито-сопротивления  $\rho(H)/\rho_0$  монокристалла  $\text{UBe}_{13}$  при двух значениях температур: 1,9 К (кривые 1 и 2) и 4,2 К (кривые 3 и 4). Четные номера кривых соответствуют ориентации  $H \parallel C_4$ , нечетные –  $H \parallel C_2$

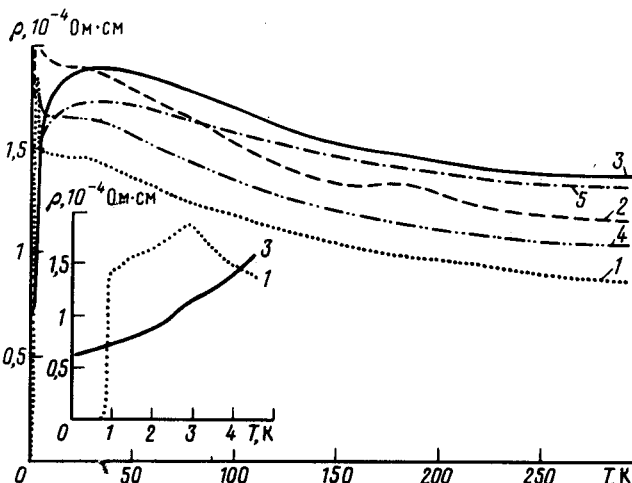


Рис. 2. Температурные зависимости электросопротивления поликристаллических образцов: 1 – исходный, 2 – отожженный в водороде, 3 – облученный нейтронами, 4 –  $\text{UBe}_{13}\text{Fe}_{0,02}$  и 5 –  $\text{UBe}_{13}\text{Fe}_{0,05}$ . На вставке – зависимости  $\rho(T)$  при  $T < 5 \text{ К}$  для исходного образца (кривая 1) и облученного (кривая 3)

На рис. 2 приведены зависимости электросопротивления  $\rho(T)$  для следующих образцов: 1 – исходный  $\text{UBe}_{13}$ , 2 – после двухчасового отжига в водороде при  $700^\circ\text{C}$  и давлении 1 бар, 3 – после облучения тепловыми нейтронами ( $\Phi = 8,6 \cdot 10^{17} \text{ н/см}^2$ ), 4 –  $\text{UBe}_{13}\text{Fe}_{0,02}$  и 5 –  $\text{UBe}_{13}\text{Fe}_{0,05}$ . На вставке показано изменение  $\rho(T)$  в области температур  $0,1$  –  $4,2 \text{ К}$  для исходного (кривая 1) и облученного образцов. Из сравнения кривых рис. 2 следует, что характер зависимостей  $\rho(T)$  у наводороженного образца (кривая 2) и слаболегированного  $\text{UBe}_{13}\text{Fe}_{0,02}$  (кривая 4) практически не отличается от исходного образца, при этом все они переходят в сверхпроводящее состояние, хотя и имеют различные  $T_c$ .

С увеличением содержания железа (кривая 5), так же, как и после облучения (кривая 3), сверхпроводящий переход подавляется и  $\rho(T)$  не обращается в нуль вплоть до 0,1 К. При этом в области температур  $> 100$  К характер  $\rho(T)$  изменяется не существенно. В области низких температур (т. е. при  $T < 50$  К) кривые  $\rho(T)$  для сверхпроводящих образцов отличаются от несверхпроводящих. Магнитная восприимчивость после облучения уменьшается не более, чем на 20%. Следует отметить, что, например, кривая 3 весьма похожа на зависимость  $\rho(T)$  для "тяжелофермионной" несверхпроводящей системы  $\text{CeAl}_3$ <sup>1</sup> и может быть практически совмещена с последней простым изменением масштаба по оси ординат.

Можно предположить, что сверхпроводимость в соединении  $\text{UBe}_{13}$  в значительной степени обусловлена взаимодействием "легких" и "тяжелых" носителей тока. Если под воздействием облучения или при легировании взаимодействие между двумя группами носителей вследствие уменьшения длины их свободного пробега  $l$  и усиления локализации нарушится, то это может привести к исчезновению сверхпроводимости<sup>1)</sup>. Следует отметить, что исчезновение сверхпроводимости в  $\text{UBe}_{12.94}\text{Cu}_{0.06}$  не сопровождается сколь-нибудь заметным изменением  $\gamma$  по сравнению с  $\text{UBe}_{13}$ <sup>6</sup>.

Другая возможность, о которой ранее упоминалось в<sup>3</sup>, заключается в том, что для возникновения сверхпроводимости в  $\text{UBe}_{13}$  существенное значение может иметь расстояние  $d$  между атомами урана. Корреляция  $d$  со сверхпроводящими и магнитными характеристиками у соединений с актинидами и редкими землями рассматривалась в<sup>7</sup>. Не исключено, что изменения  $d$  и  $l$  (например, при всестороннем сжатии) можно перевести несверхпроводящее "тяжелофермионное" соединение с аномальными магнитными свойствами в сверхпроводящее состояние.

В заключение следует отметить, что полученные данные не исключают возможности нетривиального характера сверхпроводимости в соединении  $\text{UBe}_{13}$ . Можно допустить, что поляризация "легких" носителей в результате их взаимодействия с "тяжелыми"  $5f$ -электронами будет способствовать возникновению спаривания в триплетном состоянии, весьма чувствительному к наличию в системе дефектов и примесей.

Авторы выражают благодарность Ю.А.Денискину, А.И.Харьковскому, М.Глиньскому и Х.Мэдге за помощь при проведении измерений.

### Литература

1. Stewart G.R. Rev. Mod. Phys., 1984, **56**, 755.
2. Алексеевский Н.Е., Нарожный В.Н., Нижанковский В.И., Николаев Е.Г., Хлыбов Е.П. Письма в ЖЭТФ, 1984, **40**, 421.
3. Горьков Л.П., Калугин П.А. Письма в ЖЭТФ, 1985, **41**, 208.
4. Горьков Л.П. Письма в ЖЭТФ, 1984, **40**, 351.
5. Ōnuki Yo., Shimizu Yo., Komatsubara T. J. Phys. Soc. Japan, 1984, **53**, 1210.
6. Stewart G.R., Giorgi A.L. J. Low Temp. Phys., 1984, **56**, 379.
7. Meissner G.R., Giorgi A.L., Lawson A.C., Stewart G.R., Willis J.O., Wire M.S., Smith J.L. Phys. Rev. Lett., 1984, **53**, 1829.

Институт физических проблем  
Академии наук СССР

Поступила в редакцию  
5 марта 1985 г

<sup>1)</sup> К подавлению сверхпроводимости при облучении и легировании может приводить также частичный распад соединения  $\text{UBe}_{13}$ .